

■ **Problema 1.** Un gas ultrarrelativista está compuesto por N bosones de espín cero en una caja bidimensional de área A . La temperatura del gas es T . Se define $\lambda^2 = (\beta\hbar c)^2/(2\pi)$. En el límite termodinámico:

- Encuentre T_c , la temperatura crítica por debajo de la cual hay condensado.
- Escriba la energía por partícula, $u(T) = U(T)/N$, por encima y por debajo de T_c . Por encima de T_c , defina $u(T)$ paraméricamente, dando $T(z)$ y $u(z)$.
- Calcule $c(T) = C_\lambda(T)/(Nk)$, por encima y por debajo de T_c . Muestre que la función $c(T)$ es continua en T_c . Por encima de T_c , defina $c(T)$ paraméricamente, dando $T(z)$ y $c(z)$.

■ **Solución.** El número de partículas en los niveles excitados es

$$\begin{aligned} N_e &= \frac{A}{h^2} \int d^2p \frac{1}{z^{-1}e^{\beta\epsilon(\mathbf{p})} - 1} = \frac{2\pi A}{h^2} \int_0^\infty dp \frac{p}{z^{-1}e^{\beta pc} - 1} = \frac{2\pi A}{(\beta\hbar c)^2} g_2(z) \\ &= \frac{A}{\lambda^2} g_2(z). \end{aligned} \quad (1)$$

La condición que define la temperatura crítica es

$$N = \frac{A}{\lambda_c^2} g_2(1) = \frac{A}{\lambda_c^2} \zeta(2). \quad (2)$$

De aquí resulta

$$kT_c = \hbar c \left[\frac{1}{\zeta(2)} \frac{N}{2\pi A} \right]^{1/2}. \quad (3)$$

La energía del gas es igual a la energía de las partículas en los niveles excitados,

$$U = \frac{A}{h^2} \int d^2p \frac{\epsilon(\mathbf{p})}{z^{-1}e^{\beta\epsilon(\mathbf{p})} - 1} = \frac{2\pi A}{h^2} \int_0^\infty dp p \frac{pc}{z^{-1}e^{\beta pc} - 1} = \frac{2A}{\lambda^2} kT g_3(z). \quad (4)$$

Por encima de la temperatura crítica, vale la relación

$$N = \frac{A}{\lambda^2} g_2(z), \quad (5)$$

por lo tanto,

$$u = \frac{U}{N} = 2kT \frac{g_3(z)}{g_2(z)}. \quad (6)$$

Comparando las Ecs. (2) y (5), resulta

$$T = \left[\frac{\zeta(2)}{g_2(z)} \right]^{1/2} T_c. \quad (7)$$

Entonces, por encima de la temperatura crítica, la energía por partícula en función de T queda definida paramétricamente por las ecuaciones

$$\begin{cases} T = \left[\frac{\zeta(2)}{g_2(z)} \right]^{1/2} T_c, \\ u = 2kT \frac{g_3(z)}{g_2(z)}. \end{cases} \quad (8)$$

Por debajo de la temperatura crítica,

$$u = \frac{2A}{\lambda^2} kT \zeta(3). \quad (9)$$

Usando la Ec. (2) para escribir A/N , queda

$$u = 2 \left(\frac{T}{T_c} \right)^2 \frac{\zeta(3)}{\zeta(2)} kT. \quad (10)$$

El calor específico por partícula a área constante por encima de la temperatura crítica es

$$c = \frac{1}{k} \left(\frac{\partial u}{\partial T} \right)_A = 2 \left\{ \frac{g_3(z)}{g_2(z)} + \frac{Tz'}{z} \left[1 - \frac{g_3(z)g_1(z)}{g_2(z)^2} \right] \right\}. \quad (11)$$

Aquí hemos usado que $g'_v(z) = g_{v-1}(z)/z$. Para calcular z' , hay que diferenciar la ecuación

$$N = \frac{A}{\lambda^2} g_2(z), \quad (12)$$

manteniendo N y A constantes. Explícitamente,

$$0 = \frac{2dT}{T} + \frac{g_1(z)}{g_2(z)} \frac{dz}{z}. \quad (13)$$

Esto implica

$$\frac{Tz'}{z} = -2 \frac{g_2(z)}{g_1(z)}. \quad (14)$$

Reemplazando en la Ec. (11),

$$c = 6 \frac{g_3(z)}{g_2(z)} - 4 \frac{g_2(z)}{g_1(z)}. \quad (15)$$

Por debajo de la temperatura crítica, la Ec. (10) da

$$c = 6 \left(\frac{T}{T_c} \right)^2 \frac{\zeta(3)}{\zeta(2)}. \quad (16)$$

Puesto que $g_1(z)$ diverge cuando $z \rightarrow 1$, a partir de la Ec. (15) obtenemos

$$\lim_{T \rightarrow T_c^+} c(T) = \frac{6\zeta(3)}{\zeta(2)}. \quad (17)$$

Por otro lado, tomando el límite de la Ec. (16),

$$\lim_{T \rightarrow T_c^-} c(T) = \frac{6\zeta(3)}{\zeta(2)}. \quad (18)$$

Esto significa que la función $c(T)$ es continua en T_c . Aunque el problema no lo pida, veamos qué sucede con su derivada. Por encima de la temperatura crítica,

$$c'(T) = \frac{z'}{z} \left[6 - \frac{6g_3(z)g_1(z)}{g_2(z)^2} - 4 + \frac{4g_2(z)g_0(z)}{g_1(z)^2} \right] = -\frac{2}{T} \left[\frac{2g_2(z)}{g_1(z)} - \frac{6g_3(z)}{g_2(z)} + 4 \frac{g_2(z)^2 g_0(z)}{g_1(z)^3} \right]. \quad (19)$$

En el límite en el que la temperatura tiende a T_c^+ , el primer término tiende a cero, el segundo tiende a una constante finita, y para saber qué pasa con el tercero hay que escribir explícitamente las funciones $g_0(z)$ y $g_1(z)$. Por definición,

$$g_1(z) = \sum_{l=1}^{\infty} \frac{z^l}{l} = -\log(1-z), \quad g_0(z) = \sum_{l=1}^{\infty} z^l = \frac{z}{1-z}. \quad (20)$$

Vemos entonces que

$$\lim_{T \rightarrow T_c^+} c'(T) = -\infty. \quad (21)$$

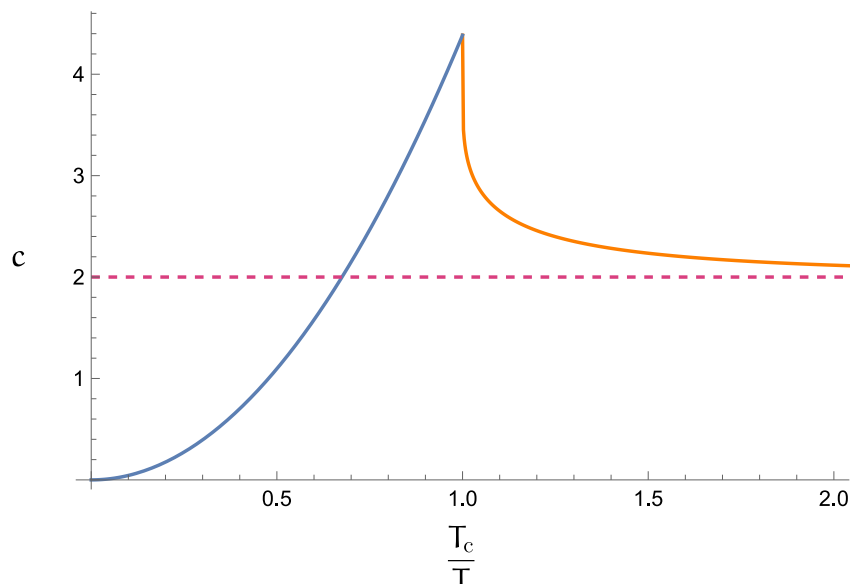
Por debajo de la temperatura crítica,

$$c'(T) = \frac{12}{T} \left(\frac{T}{T_c} \right)^2 \frac{\zeta(3)}{\zeta(2)}. \quad (22)$$

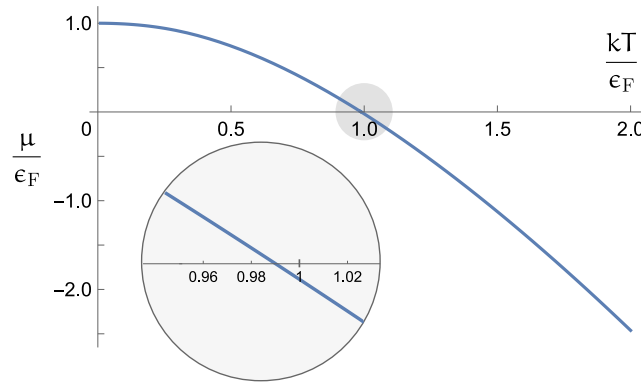
Luego,

$$\lim_{T \rightarrow T_c^-} c'(T) = \frac{12}{T_c} \frac{\zeta(3)}{\zeta(2)}. \quad (23)$$

Para completar la descripción cualitativa de la función $c(T)$, a partir de la Ec. (15) y del hecho de que z tienda a cero cuando $T \rightarrow \infty$, vemos que para $T \gg T_c$, $c(T) \simeq 2$. Reuniendo todos estos resultados, podemos esperar algo como lo que muestra la figura.



■ **Problema 2.** Un gas de N fermiones de espín s y masa m está contenido en un recipiente de volumen V . La figura muestra el potencial químico en función de la temperatura.



- a) En términos de la energía de Fermi, ¿para qué valor de kT es μ igual a cero? La respuesta debe ser de la forma $kT_0 = \alpha \epsilon_F$, donde α es una constante universal. No se pide un valor numérico, pero, si tiene calculadora, le será útil saber que $f_{3/2}(1) \approx 0,7651$.
- b) A partir de la primera corrección de temperatura finita para el potencial químico, estime el valor de kT para el cual μ es igual a cero.

■ **Solución.** La ecuación que relaciona la fugacidad con el número de partículas es

$$N = \frac{gV}{\lambda^3} f_{3/2}(z), \quad (24)$$

donde $g = 2s + 1$. Cuando el potencial químico es cero, $z = 1$. Entonces, debe ser

$$kT_0 = \left[\frac{1}{f_{3/2}(1)} \frac{h^3}{(2\pi m)^{3/2}} \frac{N}{gV} \right]^{2/3}. \quad (25)$$

Por otro lado, la energía de Fermi está dada por

$$\frac{N}{gV} = \frac{4\pi}{3h^3} (2m\epsilon_F)^{3/2} = \frac{4}{3\sqrt{\pi}} \frac{(2\pi m)^{3/2}}{h^3} \epsilon_F^{3/2}, \quad (26)$$

de modo que

$$kT_0 = \left[\frac{4}{3\sqrt{\pi} f_{3/2}(1)} \right]^{2/3} \epsilon_F \approx 0,9887 \epsilon_F. \quad (27)$$

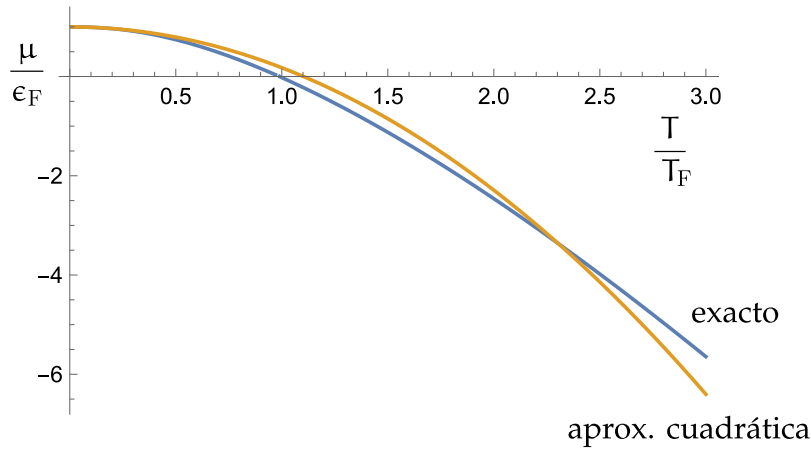
Para la segunda parte del problema, usando el lema de Sommerfeld, se encuentra que

$$\mu \simeq \epsilon_F \left[1 - \frac{\pi^2}{12} \left(\frac{kT}{\epsilon_F} \right)^2 \right]. \quad (28)$$

En principio, el rango de validez de esta aproximación es $kT \ll \epsilon_F$. El resultado anterior, y la propia figura del enunciado, muestran que la temperatura buscada es del orden de T_F . No hay garantías de que la ecuación anterior conduzca a una estimación válida para la temperatura a la cual se anula el potencial químico. Explícitamente,

$$kT_0 \approx \frac{\sqrt{12}}{\pi} \epsilon_F \approx 1,103 \epsilon_F. \quad (29)$$

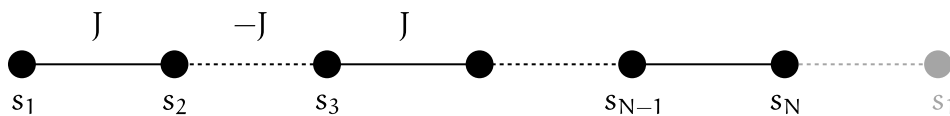
Este resultado es un 10% mayor al obtenido con la expresión exacta. No está mal para ser una estimación. Ocurre que la aproximación (28) es cualitativamente aceptable incluso para valores de T comparables con T_F . La figura muestra el gráfico de μ en función de la temperatura junto con la aproximación (28). Claramente, para $T \ll T_F$, la aproximación es excelente pero, incluso para valores de T tan altos como $2T_F$ la aproximación es cualitativamente buena.



Uno de los objetivos de este problema era llamar la atención sobre el error al que puede inducir el gráfico de $\mu(T)$. Si no hubiéramos graficado el *inset* con el detalle de la región cercana a T_F , probablemente hubiéramos inferido que $T_0 = T_F$.

■ **Problema 3.** La figura muestra una cadena de Ising cerrada de N espines, con N par. La constante de acoplamiento entre espines alterna su valor entre J y $-J$. Hay un campo externo B . Se definen $x = e^{\beta J}$ e $y = e^{\beta \mu B} = e^b$.

- a) Calcule la energía libre por espín en el límite $N \rightarrow \infty$.
- b) En el mismo límite, calcule el valor medio de la magnetización por espín.



■ **Solución.** La función de partición es

$$Z = \sum_{\{s_i\}} x^{s_1 s_2} y^{\frac{1}{2}(s_1 + s_2)} x^{-s_2 s_3} y^{\frac{1}{2}(s_2 + s_3)} \dots x^{s_{N-1} s_N} y^{\frac{1}{2}(s_{N-1} + s_N)} x^{-s_N s_1} y^{\frac{1}{2}(s_N + s_1)}. \tag{30}$$

Esto no deja de ser la traza de un producto de matrices,

$$Z = \text{Tr} (\mathbf{q}\mathbf{q}')^{N/2} = \text{Tr} \mathbf{Q}^{N/2}, \tag{31}$$

donde

$$\mathbf{q}_{s_i s_j} = x^{s_i s_j} y^{\frac{1}{2}(s_i + s_j)}, \quad \mathbf{q}'_{s_i s_j} = x^{-s_i s_j} y^{\frac{1}{2}(s_i + s_j)}. \tag{32}$$

El producto de estas dos matrices es

$$\mathbf{Q} = \begin{pmatrix} xy & x^{-1} \\ x^{-1} & xy^{-1} \end{pmatrix} \begin{pmatrix} x^{-1}y & x \\ x & x^{-1}y^{-1} \end{pmatrix} = \begin{pmatrix} 1 + y^2 & x^2y + x^{-2}y^{-1} \\ x^{-2}y + x^2y^{-1} & 1 + y^{-2} \end{pmatrix}. \quad (33)$$

Aunque \mathbf{Q} no es simétrica, no necesitamos simetrizarla. El resultado

$$\text{Tr } \mathbf{M}^k = \sum_i \lambda_i^k, \quad (34)$$

donde λ_i son los autovalores de \mathbf{M} , vale en general. Entonces,

$$Z = \lambda_+^{N/2} + \lambda_-^{N/2}, \quad (35)$$

donde λ_{\pm} son los autovalores de \mathbf{Q} . La ecuación característica para \mathbf{Q} es

$$\lambda^2 - (2 + y^2 + y^{-2})\lambda + (1 + y^2)(1 + y^{-2}) - (x^4 + x^{-4} + y^2 + y^{-2}) = 0. \quad (36)$$

Luego de algunas simplificaciones,

$$\lambda^2 - (y + y^{-1})^2\lambda - (x^2 - x^{-2})^2 = 0. \quad (37)$$

Las soluciones son

$$\lambda_{\pm} = \frac{1}{2} \left[(y + y^{-1})^2 \pm \sqrt{(y + y^{-1})^4 + 4(x^2 - x^{-2})^2} \right]. \quad (38)$$

El autovalor λ_+ es positivo, mientras que λ_- es negativo. Lo que importa es que $|\lambda_-| < \lambda_+$. Tenemos que

$$\frac{1}{N} \log Z = \frac{1}{N} \log(\lambda_+^{N/2} + \lambda_-^{N/2}) = \frac{1}{2} \log \lambda_+ + \frac{1}{N} \log \left[1 + \left(\frac{\lambda_-}{\lambda_+} \right)^{N/2} \right]. \quad (39)$$

En el límite $N \rightarrow \infty$,

$$\frac{1}{N} \log Z \rightarrow \frac{1}{2} \log \lambda_+. \quad (40)$$

La energía libre por espín es

$$f = -\frac{1}{2} kT \log \lambda_+. \quad (41)$$

Introduciendo, como es habitual, la variable $b = \beta\mu B$, la magnetización media por espín es

$$m = \frac{\partial}{\partial b} \left(\lim_{N \rightarrow \infty} \frac{1}{N} \log Z \right) = \frac{1}{2} \frac{\partial \log \lambda_+}{\partial b}. \quad (42)$$

Pero, ya que todo está escrito en términos de $y = e^b$, conviene calcular m como

$$m = \frac{y}{2} \frac{\partial \log \lambda_+}{\partial y} = \frac{y}{2\lambda_+} \frac{\partial \lambda_+}{\partial y}. \quad (43)$$

La propia función λ_+ depende de y sólo a través de la combinación

$$z = (y + y^{-1})^2, \quad (44)$$

de forma que lo más cómodo es, en definitiva, escribir

$$m = \frac{y}{2\lambda_+} \frac{dz}{dy} \frac{\partial \lambda_+}{\partial z} = \frac{y}{\lambda_+} (y + y^{-1}) (1 - y^{-2}) \frac{\partial \lambda_+}{\partial z} = \frac{1}{2\lambda_+} (y^2 - y^{-2}) \frac{\partial \lambda_+}{\partial z}. \quad (45)$$

Tenemos

$$\lambda_+ = \frac{1}{2} \left(z + \sqrt{z^2 + a} \right), \quad (46)$$

donde

$$a = 4(x^2 - x^{-2})^2. \quad (47)$$

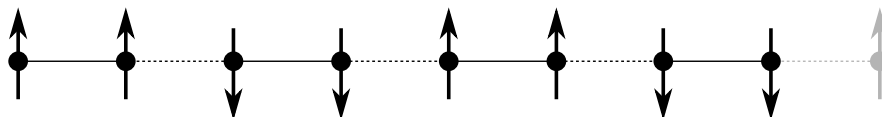
Luego,

$$\frac{1}{\lambda_+} \frac{\partial \lambda_+}{\partial z} = \frac{1}{z + \sqrt{z^2 + a}} \left(1 + \frac{z}{\sqrt{z^2 + a}} \right) = \frac{1}{\sqrt{z^2 + a}}. \quad (48)$$

Finalmente,

$$m = \frac{y^2 - y^{-2}}{\sqrt{(y + y^{-1})^4 + 4(x^2 - x^{-2})^2}}. \quad (49)$$

Un resultado interesante es que en el límite en que $|J| \rightarrow \infty$, la magnetización tiende a cero. En ese límite, el sistema tiende a ordenarse como muestra la figura.



Esta familia de estados minimiza la energía.